

致; C1A亚家族成员最多(23个), C2亚家族小桐子和蓖麻各仅有1个成员, C12亚家族有2个成员(JcUCH2 和JcUCH3), C13亚家族有3个成员(JcVPE2、JcVPE1 和JcVPE3), C14亚家族有8个成员, C15亚家族有 JcPCP1和JcPCP2两个成员。

2.3 小桐子半胱氨酸蛋白酶家族的蛋白结构域分析

基于MEROPs数据库分析, 得到C1A、C2、C12、C13、C14和C15六个亚家族的蛋白结构(图2)。结果表明, 小桐子半胱氨酸蛋白酶家族的6个亚家族成员均具有Cys和His的共同活性位点, 这是半胱氨酸蛋白酶的特征(Ahmad et al., 2014), 同一亚家族的成员大多数在基序组成上有相似之处(图2)。

为探明小桐子半胱氨酸蛋白酶的特征基序, 使用MEME搜索工具, 确定了9个最重要的基序, 得到小桐子半胱氨酸蛋白酶保守基序结构域前体序列为 ExxxRxxxxxN/VxxxNx (图3)。其中WRxxGAV和LSEOxLVD基序均显示在图3的第一行。

2.4 染色体定位及基因重复事件分析

基于Wu等(2015)构建小桐子遗传连锁图谱, 对小桐子半胱氨酸蛋白酶家族基因进行染色体定位, 并利用

TBtools软件绘图(图4)。结果表明, 39个半胱氨酸蛋白酶基因分别定位于11条染色体(Chr. 1–Chr. 11)上。每条染色体上的半胱氨酸蛋白酶基因数目不等, 有的成簇分布在不同的染色体上。其中Chr. 11上有2个, Chr. 2和Chr. 4上各有6个, Chr. 3、Chr. 5和Chr. 7上各有5个, Chr. 11和Chr. 8上各有2个, Chr. 9和Chr. 10上各有3个半胱氨酸蛋白酶基因。上述结果表明, 半胱氨酸蛋白酶基因在不同染色体上分布不均, 而且每个亚家族的基因在不同染色体上也分布不均(图4)。进一步对蛋白序列同源性和基因重复性进行比较, 表明在小桐子半胱氨酸蛋白酶基因家族中, 有18对基因发生了基因重复事件, 其中有7对同源性达90%以上, JcRD21A和JcRD21A1、JcSAG12H6和JcSAG12H7的同源性分别为95.60%和95.87%, 且位于同一条染色体上, 在染色体上的位置紧密相邻排列, 可能是这2对基因发生了串联重复。JcSAG12H5和JcSAG12H4、JcSAG12H3和JcSAG12H4、JcSAG12H5和JcSAG12H3的同源性分别达92.70%、90.2%和90.20%, 且分布于不同染色体上, 这可能是发生了染色体异位重复所致。在发生片段重复的半胱氨酸蛋白酶基因中, 有一些基因(如JcSAG12H6和JcSAG12H7)来自同一亚家族, 可能是进化过程中发生复制, 产生了串联重复(图4)。

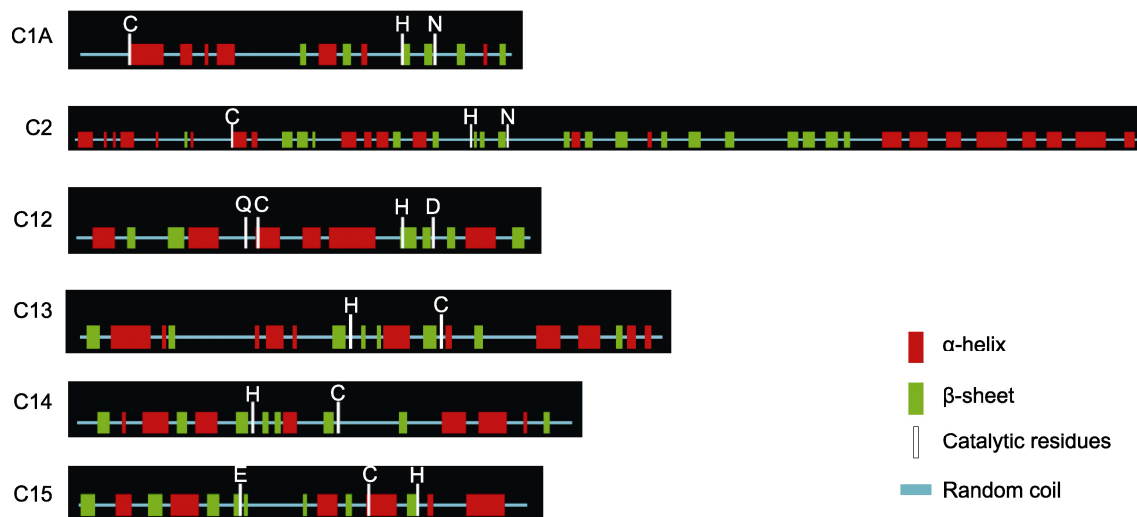


图2 小桐子6个半胱氨酸蛋白酶亚家族的蛋白结构

C: 半胱氨酸; D: 天冬氨酸; E: 谷氨酸; H: 组氨酸; N: 天冬酰胺; Q: 谷氨酰胺

Figure 2 Protein structure of the six cysteine protease subfamilies in *Jatropha curcas*

C: Cys; D: Asp; E: Glu; H: His; N: Asn; Q: Gln

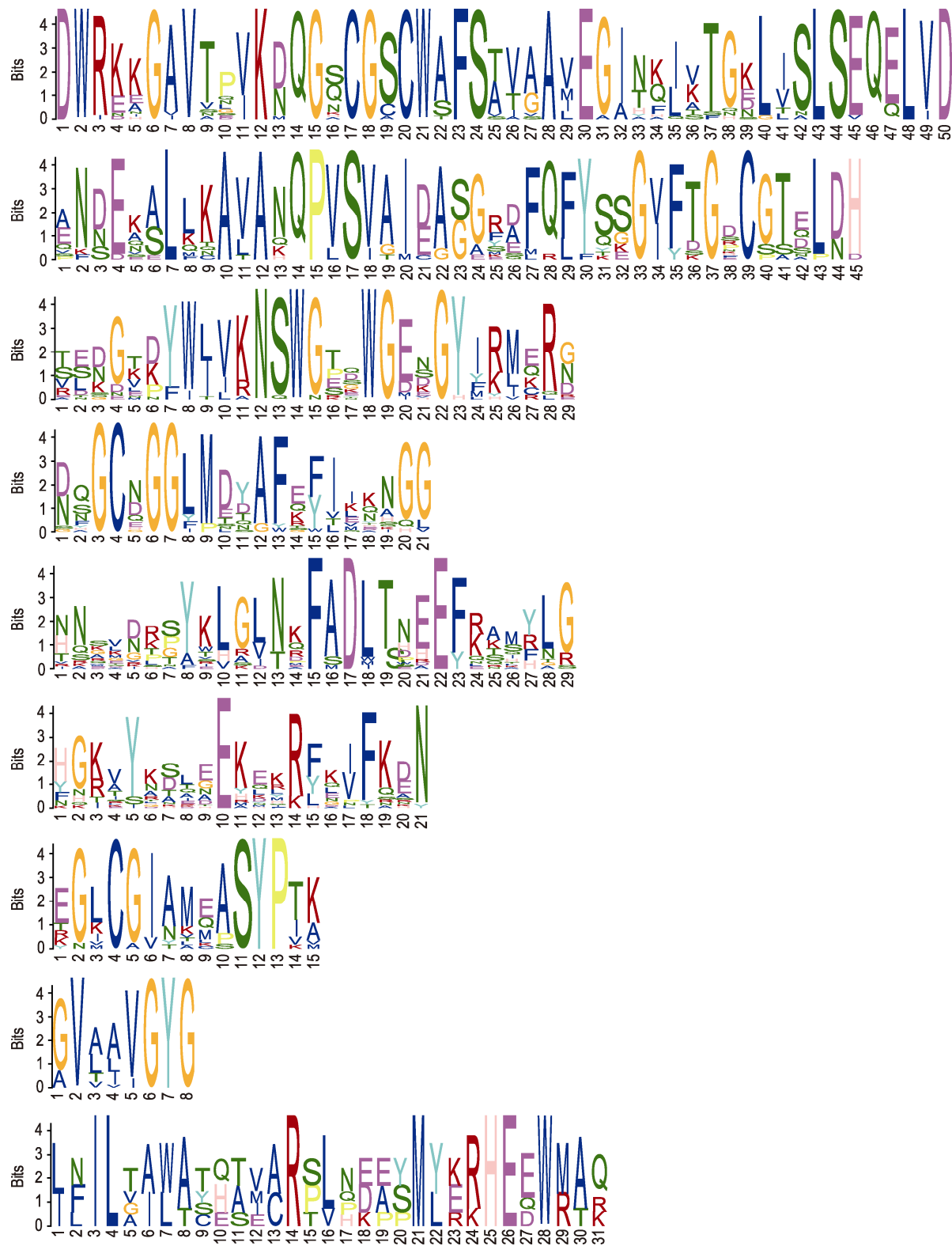


图3 使用MEME软件确定的小桐子半胱氨酸蛋白酶家族9个重要的基序
横坐标表示基序的长度；纵坐标表示基序的保守程度。

Figure 3 The top nine motifs of cysteine protease family in *Jatropha curcas* identified using the MEME software
The abscissa represents the length of the motif; the ordinate indicates the conservatism of the motif.

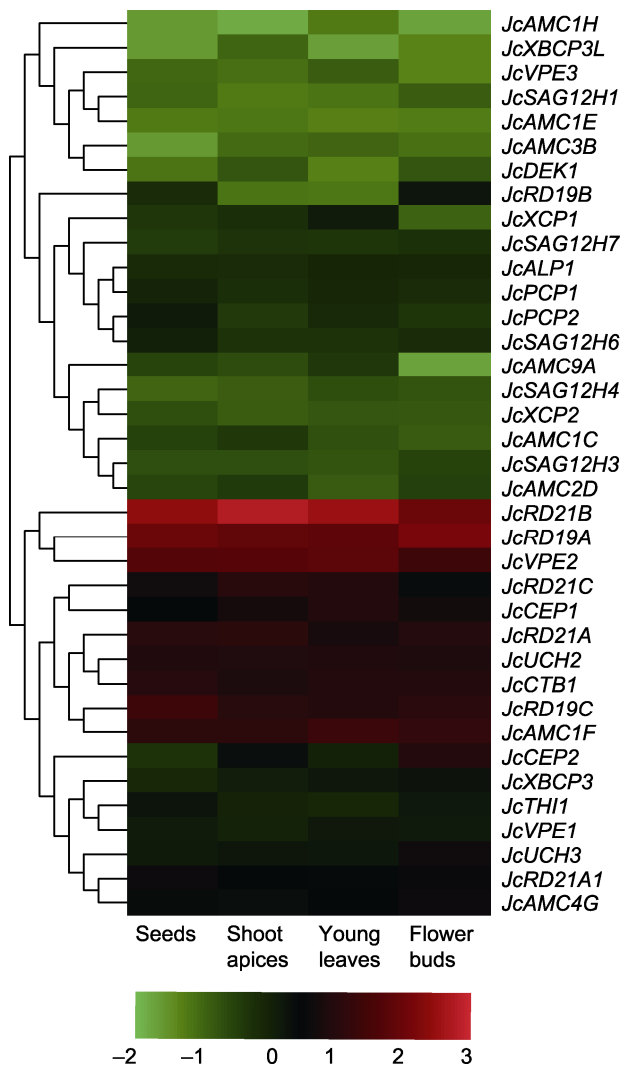


图5 小桐子半胱氨酸蛋白酶家族基因在不同器官中的表达热图

Figure 5 Heatmap of gene expression of cysteine protease family in different organs of *Jatropha curcas*

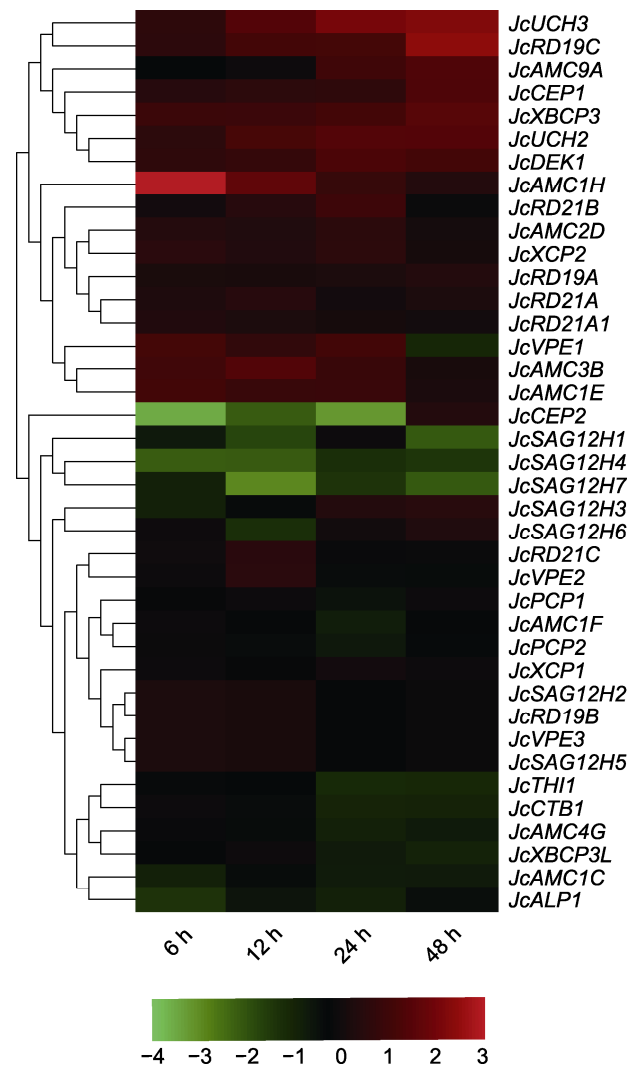


图6 小桐子幼苗叶片半胱氨酸蛋白酶家族基因在12°C低温锻炼期间基因表达的热图

Figure 6 Heatmap of gene expression of cysteine protease family in leaves of *Jatropha curcas* seedlings during chill-hardening at 12°C

2.8 低温锻炼期间靶向小桐子半胱氨酸蛋白酶家族基因的miRNAs数字表达谱及qRT-PCR分析

基于前述靶向半胱氨酸蛋白酶家族基因miRNAs的鉴定结果, 利用本实验室在小桐子低温锻炼期间测序获得的miRNA组数据, 挑选40个差异倍数在2.5以上的miRNAs进行数字表达谱分析(图8)。结果表明, miR1314-y、miR7736-y、miR3630-y、miR1039-x和miR5168-x在12°C低温锻炼下表达显著下调, miR1215-x和miR5278-y均在低温锻炼6和12小时后表达显著上调, miR6485-x、novel-m0130-5p、

miR8639-y、miR3522-x和miR6112-y在12°C低温锻炼6小时后表达显著上调。值得注意的是, miR1314-y、miR7736-y、miR3630-y、miR1039-y、miR5168-x、novel-m0074-3p和miR5156-x在低温锻炼期间表达明显下调(图8), 而这些miRNAs靶向的半胱氨酸蛋白酶基因JcDEK1在低温锻炼期间表达逐渐上调(图6), 它们之间呈现明显的负相关。与之类似, JcRD21C在低温锻炼期间表达下调(图6), 而靶向其基因的novel-m0113-3p在低温锻炼12–48小时期间表达上调, miR1215-x在低温锻炼6–12小时期间表达上调,

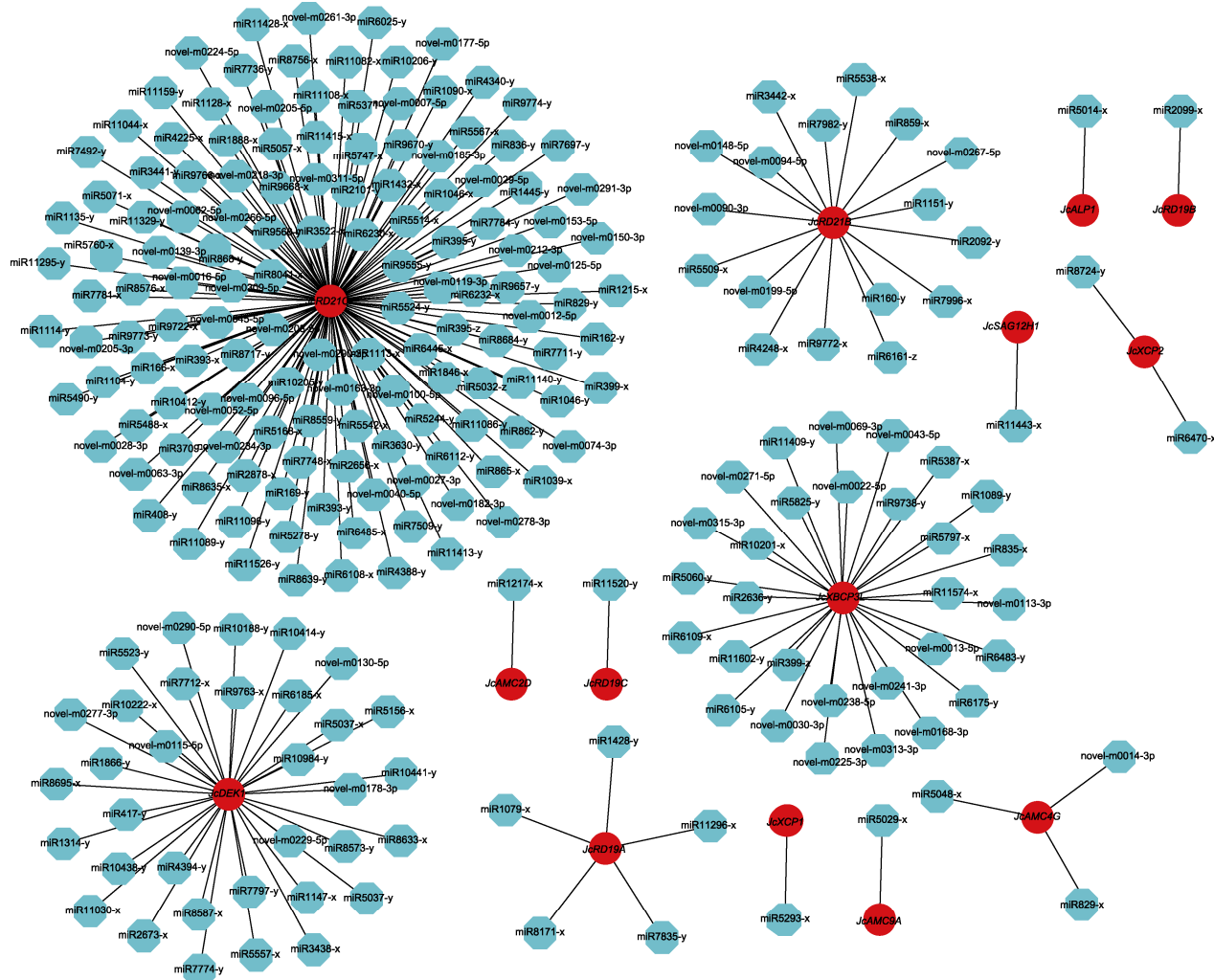


图7 miRNAs靶向调控小桐子半胱氨酸蛋白酶家族基因的网络图
红色代表半胱氨酸蛋白酶基因，蓝色代表miRNAs。

Figure 7 Networks of targeted regulation among miRNAs and their corresponding cysteine protease family genes in *Jatropha curcas*

Red represents cysteine protease gene and blue represents miRNAs.

miR8639-y、miR3522-y和miR6112-y在低温锻炼6小时后表达明显上调(图8)。这些miRNAs与靶向的JcRD21C总体呈负调控趋势，表明miRNAs与其靶向的半胱氨酸蛋白酶基因存在负调控关系。

为进一步证实靶向半胱氨酸蛋白酶家族基因的miRNAs与其靶基因的互作关系，以及在小桐子低温响应中的作用，我们挑选在低温锻炼期间差异表达的3个半胱氨酸蛋白酶基因(JcDEK1、JcRD21B和JcXBCP3)与靶向它们的miR1314-y、miR5156-x、miR6483-y和miR1151-y进行qRT-PCR共表达分析(图9)。结果表明，在12°C低温锻炼期间，3个半胱氨

酸蛋白酶基因在12小时后表达量明显上调，而后逐渐下降，到48小时均下降到较低的水平(图9)。而靶向这3个基因的miR1314-y、miR5156-x、miR6483-y和miR1151-y的表达都呈一定的上升趋势，在48小时尤为显著。在整个12°C低温锻炼过程中，JcDEK1与miR1314-y、miR5156-x呈负相关，相关系数分别为 $R=-0.665\ 0$ 和 $R=-0.369\ 6$ (图9A, B); JcRD21B与miR1151-y在12、24和48小时呈负调控趋势，相关系数 $R=-0.755\ 2$ (图9C); JcXBCP3L与miR6483-y在6、12和24小时呈明显负相关，相关系数 $R=-0.929\ 5$ (图9D)。上述结果进一步表明，小桐子miRNAs对其

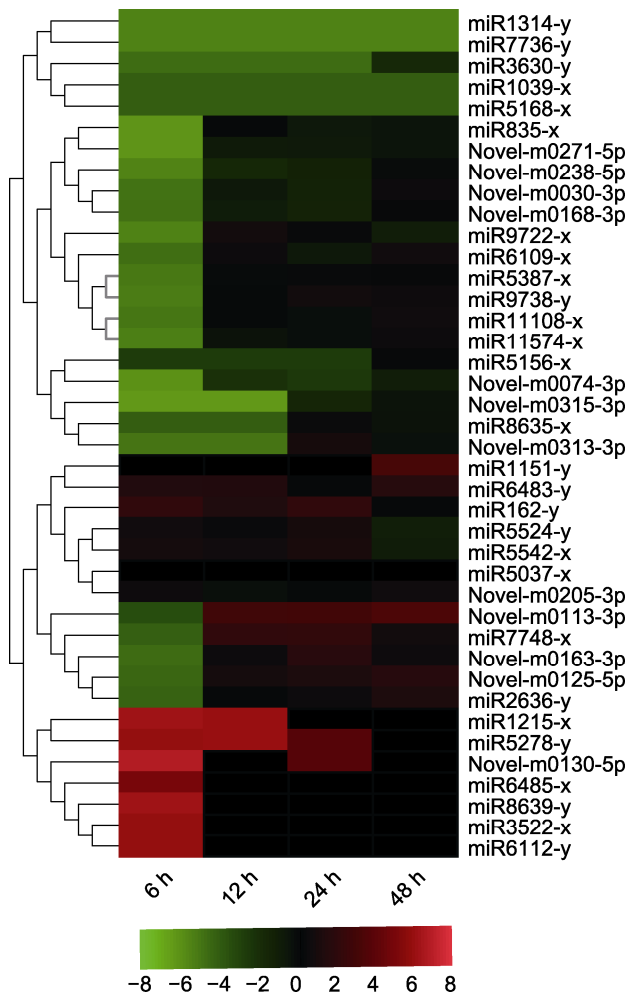


图8 靶向调控小桐子半胱氨酸蛋白酶家族基因的miRNAs在12℃低温锻炼期间的热图

Figure 8 Heatmap of miRNAs targeting cysteine protease family genes in *Jatropha curcas* during 12°C chill-hardening

靶向的半胱氨酸蛋白酶基因有负调控作用。

2.9 讨论

关于半胱氨酸蛋白酶全基因家族分析与鉴定目前仅在水稻中有正式报道(Niño et al., 2020),更多研究则聚焦于半胱氨酸蛋白酶家族下各亚家族的分析与鉴定。其中, C1A木瓜类半胱氨酸蛋白酶亚家族已经在多种植物中得到鉴定,如拟南芥(Richau et al., 2012)、水稻(Wang et al., 2018b)、柑橘(*Citrus reticulata*) (Clark et al., 2018)、蓖麻和小桐子(Zou et al., 2018)。其中, Zou等(2018)对蓖麻和小桐子半胱氨酸蛋白酶家族中的C1A亚家族进行了详细鉴定。本研究进一步对小桐子半胱氨酸蛋白酶全基因家族进

行解析,增加了对其它5个亚家族成员的分析,并对靶向该家族基因成员的miRNA进行鉴定与qRT-PCR验证,使我们对这一基因家族及其表达调控有了更完整的认识。

本研究在基因组层面上对小桐子半胱氨酸蛋白酶全基因家族进行了生物信息学分析,共鉴定到39个家族成员,可分为C1A、C2、C12、C13、C14和C15共6个亚家族,定位于11条染色体上,部分基因之间发生了片段重复,如 *JcRD21A* 和 *JcRD21A1*, *JcSAG12H6* 和 *JcSAG12H7*;而 *JcSAG12H5* 和 *JcSAG12H4*、*JcSAG12H3* 和 *JcSAG12H4*、*JcSAG12H5* 和 *JcSAG12H3*之间的氨基酸同源性达90%以上,位于不同染色体之间,推测可能是发生了染色体异位重复(图1, 图4)。蛋白结构域分析结果表明,小桐子半胱氨酸蛋白酶家族均具有共同的Cys和His活性位点,保守基序结构域前体序列为ExxxRxxxxxxN/VxxxNx (图2, 图3)。基于RNA-seq的研究结果表明,小桐子半胱氨酸蛋白酶基因家族的39个成员在植株的不同组织/器官及在低温锻炼过程中均呈现空间和时间的差异化表达(图5, 图6)。Zou等(2018)研究表明, C1A家族大部分成员在小桐子叶片中表达量较高,根据本研究结果及与其它5个亚家族成员进行横向比较,我们发现在种子、花蕾、茎端和叶片中表达量占比较大的基本是C1A亚家族成员,表明该基因家族不同成员的表达水平在小桐子生长发育的不同阶段及对不同外界环境刺激过程中存在差异化响应。这些结果对我们深入理解小桐子半胱氨酸蛋白酶家族各成员在生长发育过程和对环境变化响应中的作用具有参考价值。

研究证明,逆境胁迫下细胞内变性或失活蛋白的标记、定向降解及其调控在植物响应和适应逆境胁迫过程中起重要作用,而半胱氨酸蛋白酶家族作为植物蛋白水解酶的主要组分,其家族不同成员参与植物多种抗逆调控。例如,甘蓝型油菜(*Brassica napus*)在4°C低温下,其编码半胱氨酸蛋白酶的 *bcp-15* 转录本积累最多;置于4°C的第一天,转录水平增加了8.5倍,4天后,转录水平下降到基础水平的6.4倍(Stroher et al., 1997)。在PEG、盐和冷胁迫下,小麦(*Triticum aestivum*) *PLCP*基因(*TaCP*)表达显著上调(Zang et al., 2010)。过表达旱柳(*Salix matsudana*)半胱氨酸蛋白酶基因 *SmCP* 可提高转基因拟南芥的耐盐性

Identification of the Cysteine Protease Family and Corresponding miRNAs in *Jatropha curcas* and Their Response to Chill-hardening

Dandan Wu¹, Yongkun Chen^{1, 2}, Yu Yang¹, Chunyan Kong¹, Ming Gong^{1*}

¹Key Laboratory of Biomass Energy and Environmental Biotechnology of Yunnan Province, Engineering Research Center of Sustainable Development and Utilization of Biomass Energy, Ministry of Education, School of Life Sciences, Yunnan Normal University, Kunming 650500, China; ²School of Life Sciences, Xinjiang Normal University, Urumqi 830054, China

Abstract *Jatropha curcas* is a kind of promising energy plants, but also a chilling-sensitive plant, which can be chill-hardening at 12°C with significant improvement of its chilling tolerance. In this study, the cysteine protease gene family of *J. curcas* and their corresponding miRNAs were identified at the genome-wide level. The results showed that a total of 39 cysteine protease genes were identified in *J. curcas* genome, which were located on 11 chromosomes and could be divided into six subfamilies (C1A, C2, C12, C13, C14 and C15); all encoding 181–2 158 amino acids with Cys and His active sites. Based on the sequencing results of miRNAome and degradome, 283 miRNAs were found to be targeted to 14 members of cysteine protease gene family. In addition, the co-expression analysis of those miRNAs targeting to *JcDEK1*, *JcRD21B* and *JcXBCP3L* during chill-hardening demonstrated significantly negative correlation during the chill-hardening at 12°C, suggesting that these miRNAs are involved in the regulation of the cysteine protease genes, and this regulation should be related to the enhancement of chilling tolerance induced by the chill-hardening. This study will be helpful for better understanding the function of cysteine protease gene family in *J. curcas* and the interaction of the family genes with their corresponding miRNAs, and how this interaction regulates the response of *J. curcas* to low temperature.

Key words *Jatropha curcas*, cysteine protease, gene family, microRNAs, low temperature response

Wu DD, Chen YK, Yang Y, Kong CY, Gong M (2021). Identification of the cysteine protease family and corresponding miRNAs in *Jatropha curcas* and their response to chill-hardening. Chin Bull Bot **56**, 544–558.

* Author for correspondence. E-mail: gongming6307@163.com

(责任编辑: 朱亚娜)